



中华人民共和国医药行业标准

代替 YY/T 0809.6—2010

YY/T 0809.6—2013/ISO 7206-6:2012

全髋关节假体

骨部件颈部疲劳

性能要求

Joint prostheses—Part 6: Endurance

Performance requirements of neck region of femoral

and tibial components

(YY/T 0809.6—2013, IDT)

外科植入物 部分和

第 6 部分：带柄股骨

性能试验和

Implants for surgery—Partial and total h

iprosthesis: testing and perfor

fe

(ISO

前　　言

YY/T 0809《外科植人物 部分和全髋关节假体》预计分为以下几个部分：

——第1部分：分类和尺寸标注；

——第2部分：金属、陶瓷及塑料关节面；

第3部分：带柄股骨部件疲劳性能试验和性能要求；

——第6部分：带柄股骨部件颈部疲劳性能试验和性能要求；

——第8部分：有扭矩作用的带柄股骨部件疲劳性能；

——第10部分：组合式股骨头抗静载力测定。

本部分为 YY/T 0809 的第 6 部分。

本部分按照 GB/T 1.1—2009 给出的规则起草。

本部分代替 YY/T 0809.6—2010《外科植人物部分和全髋关节假体 第6部分：带柄股骨部件颈部疲劳性能试验和性能要求》，与 YY/T 0809.6—2010 相比，主要技术差异如下：

“本部分为 YY/T 0809 的第 6 部分：带柄股骨部件颈部疲劳性能试验和性能要求”，标准中增加了疲劳性能的要求；

对试验参数进行了调整。

本部分使用翻译法等同采用 ISO 7206-6:2013《外科

植人物 部分和全髋关节假体 第6部分：带柄股骨部件颈部疲劳性能试验和性能要求》。

与本部分中规范性引用的国际文件有一致性对应关系。

——GB/T 8692—2008《全髋关节充填剂材料和试验方法》；

GB/T 25012—2010《生物材料力学试验方法》；

YY/T 0809.1—2010《外科植人物

ISO 7206-6:2013《2013》。

请注意本文件的某些内容可能涉及专利。

SC 1)归口。

本部分起草单位：天津市医疗器械质量监

督检验中心、上海大学、创生医疗器械(中国)有限公司、强

生(苏州)医疗器材有限公司。

本部分主要起草人：李双明、张

植人物 部分和全髋关节假体 第6部分：带

植人物 部分和全髋关节假体 第6部分：带

植人物 部分和全髋关节假体 第6部分：带

植人物 部分和全髋关节假体 第6部分：带

植人物 部分和全髋关节假体 第1部分：分类和尺寸标注

本文件的发布机构不承担识别这些专利的责任。

节假体 部件颈部疲劳 能要求

外科植人物 部分和全髋关 第6部分:带柄股骨部 性能试验和性

1 范围

本部分规定了在特定条件下部分和全髋关节假体部件颈部疲劳性能要求。本部分不包括对股骨头或头颈部连接性能的研究。

性能的试验方法和性

本部分适用于金属或非金属材料制成的组合式和非组合式设计。

2 引用文件与参考文

下列文件对于本文件的制定是必不可少的，凡是注日期的文件，仅在标注的版本有效。凡是不注日期的引用文件，其最新版本(包括所有的修改单)适用于本文件。

ISO 3896:1997 小零件实验室校准和试验方法 (Procedure and calibration and test methods)

ISO 4965 金属材料 单轴疲劳试验动态力校准 (Metallic materials—For uniaxial fatigue testing)

ISO 7206-1 全髋关节假体 第一部分 分类 (Classification of hip prostheses—Part 1: Classification)

3 术语和定义

ISO 7206-1 界定的以及下列术语和定义适用于本文件。

3.1

可植入状态 implantable

试样已经过植入前所需的所有机加工、清洗、灭

3.2

截骨

4 原理

将试验件固定在试验台上，当加载时会受到骨质的约束，这样可以模拟假体在人体内的实际受力情况，从而得到更准确的疲劳数据。

5 材料

5.1 合成树脂，一种浇注树脂，应

- a) 在试验过程中受力时,不破裂;
- b) 不出现过度的变形或蠕变;
- c) 在强度和其他特性上可再现。

组合的金属在可接受的试验温度(参见 ISO 4965)、规定的循环载荷以及规定的金属材料试验方法中规定的应力模量应该在 2 000 N/mm² 到 6 000 N/mm² 之间。

5.2 液体试验介质:分析纯氯化钠与 ISO 3696, 1987 中规定的 3 级蒸馏水或去离子水配制的浓度为 9.0 g/L 的溶液。

6 设备

6.1 试验机应满足以下要求:

- a) 根据第 8 章的要求,能够施加规定频率的循环载荷;
- b) 施加载荷误差不超过 ISO 4965 规定的最大载荷的±2%;
- c) 主频率时载荷为正弦波形动态载荷;
- d) 有监测最大、最小载荷数值以及试样头部垂直偏移量且不确定度低于±0.4 mm 的装置,如果

该装置通过规定的方法能精确地显示头部的垂直位移,并能显示头部的垂直位移与头部的垂直偏移的比值。

头部的垂直位移与头部的垂直偏移的比值应大于 0.95,且不大于 1.05。头部的垂直位移与头部的垂直偏移的比值应大于 0.95,且不大于 1.05。

头部的垂直位移与头部的垂直偏移的比值应大于 0.95,且不大于 1.05。

热容器

6.2 热容器:在组合式股骨柄组件的试验中,用于盛放试验液,包裹试样的可加

全活的支撑装置参见附录 A.

6.4 立柱装置:用于支撑试样头部或颈部来保持试样在 8.4 中规定的方位。

三 A.4 图 A.2

水平管路 A.2

通过一个低摩擦

生根

7 试验的

应选择 6 件样品,并且与可植入产品具有技术等同性。股骨柄、股骨头以及其他部件的组合应能代

表“具体情况”以使在柄的颈部产生最高应力。试样与可植入产品的技术等同性应记录在案档中。

8 步骤

8.1 CT 值测量

测量股骨头球心到股骨柄最远端点的距离 CT, 参见附录 A 中图 A.3a)、A.3b)、A.4a) 和 A.4b) 所

示。对于带股骨柄(整体式或组合式), 应考虑选择前部或后部连接的股骨柄最远端点的 CT 值(同时应考虑股骨柄远端轴线的确定)。股骨柄在包埋介质中的定位, 包埋和试验位置的确定。

0.1×CT 和 0.8×CT 处横截面中心点的确定

定义股骨柄的远端轴线 KL。当 CT 值小于或等于 200 mm 时, KL 为距离股骨柄 CT 处和 0.4×CT 处横截面中心点的连线; 当 CT 值大于 200 mm 时, KL 为距离股骨柄 0.1×CT 处和 0.8×CT 处横截面中心点的连线, 如表 1 所示。

注: 对于长度大于 200 mm 的股骨柄, 为了包埋方便, 可以采用适当的方法定位后将其截断(A 中图 A.4 中 K:0.1×CT, L:0.8×CT)。

CT值检测器灵敏度 χ 、 K 和 L 的设置

一愛 | 二流

The diagram illustrates the relationship between CT length and the number of segments K and L . It consists of two horizontal bars representing the CT length. The left bar is labeled "CT 长度" and has a red vertical tick mark at its midpoint. The right bar is also labeled "CT 长度" and has a red vertical tick mark at its midpoint. Below the bars, there are three horizontal lines representing segments. The first segment, labeled K , is positioned under the midpoint of the left bar. The second segment, labeled L , is positioned under the midpoint of the right bar. The third segment is positioned under the rightmost red tick mark of the right bar. The labels $\leq 200\text{ mm}$ and $>200\text{ mm}$ are placed to the left and right of the midpoint tick marks respectively. To the right of the diagram, there are three sets of numerical values: $0.1 \times CT$, $0.1 \times CT$, and $0.8 \times CT$.

22 "The Value of Art"

当颈部或锥度轴线可清晰定义时以其作为股骨柄近端轴线。当颈部或锥度轴线无法清晰定义时，采用股骨头中心到股骨干颈线以上 1.0-1.5 倍横截面重心的连线作为股骨柄近端轴线。对于颈部弯曲的股骨柄，优先考虑使用第二种方法。

8.4 样品定位

$\alpha = 10^\circ \pm 1^\circ$, $\beta = 9^\circ \pm 1^\circ$, 参见附录 A 中图 A.3a)、图 A.3b)、图 A.4a)、和图 A.4b) 所示。

以便试验机的加载线通过试样股骨头或心轴 C(由 ISO 7206-1
规定的)和正确的颈干角。如果不能做到这一点,则应将股骨颈
轴线与两个垂直平面上的颈干角与试验机加载线之间的夹角, α 和 β ,
在报告中予以说明。如果可能,还应将股骨颈轴线与两个垂直平面上
的颈干角与加载线之间的夹角, α 和 β 的测量值以及
 α 角与前侧量角器测量值之差。
如果加载线与股骨颈轴线不平行,则会增加股骨颈轴线与加载线
之间的摩擦力,对于颈前倾或后倾的股骨
轴线应用相应的前倾或者后倾的角度旋转,旋转角度公差小于 $\pm 1^\circ$ 。
将固定装置和试样放在夹持装置上,
定好头颈轴线与加载线的夹角
所示角度 α 和 β 。
加载线和 C 轴线是垂直的。
在每次试验中,使
体的股骨头被破坏
柄,股骨柄应以 K1 为

图 A-18 高密度聚丙烯(例如打包袋和取料斗)衬底的金基质样品

8.6 包邊介層材料

化之前不可进行试验

3.7 试验条件

持在 $37^{\circ}\text{C} \pm 2^{\circ}\text{C}$ 。

ପ୍ରକାଶନ କମିଶନ୍ସା

8.8 取向

注：已知满足试验设备操作所需的载荷循环中的最小载荷为 500 N≈600 N。

8.9 频率

对严苛组合式的股骨颈组件(头颈连接除外),其哈顿率应在1.0%以下。

“我就是想，上厕所时能抽点时间，看看书，但是看书的字数又少，所以就只能

注：试验频率可能会影响非金属试样的试验结果。

8.10 试验结束

当出现以下情况之一时应停止试验：

- d) 试验仪器不能维持所需要的载荷值。

每种情况下，都应记录循环次数以及停止试验的原因。

1.1 补充分析

柄是否发生断裂。

8.12 重复试验

宋史·卷八

10 试验报告

必要时,试验报告应包括以下内容:

- a) 对本部分的引用;
 - b) 如委托方所定,对试样的识别和描述(至少包括部件编号、参考列表、试验项目、试验方法及要求)
 - d) 使用的包埋介质;
 - e) 包埋面的说明;
 - f) 施加的最大和最小载荷;
 - g) 加载的频率;
 - h) 试验持续的时间(用循环次数表示);

- i) 试验组中每个试样试验终止的原因以及该试验组是否满足本部分
ii) 结果描述，包括断裂位置（若出现），试验结束时试样的状态以及

k) 委托方对所选尺寸为“最差情况”的确认说明；

l) 偏移的角度(α 和 R)，用($^{\circ}$)表示；

该特殊柄选用不同的试验方法时，应给出
性的理由。

m) 若适用，对用于特殊临床适应证(如发育不良、翻修等)
试验相关性。

11 试样的处理

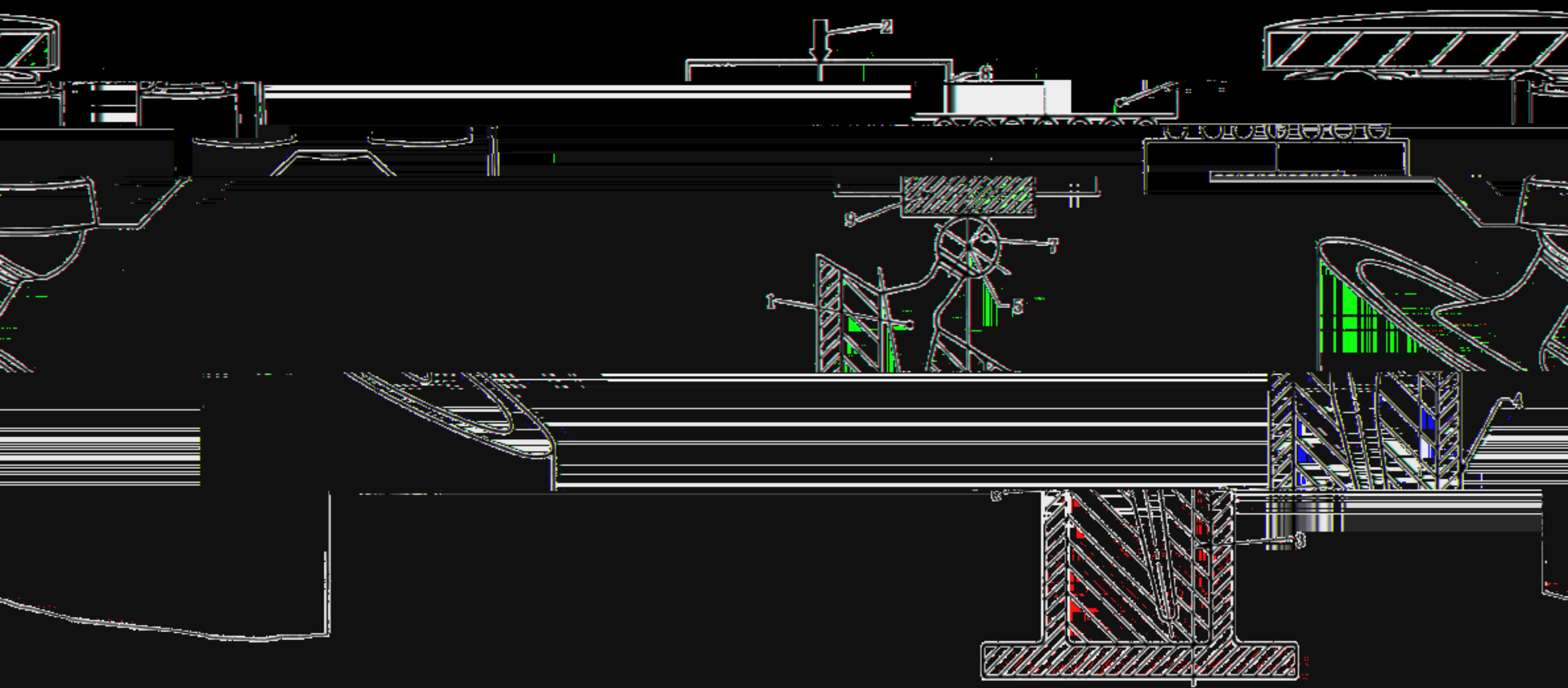
不得用于临床用途。因为加载机制有可能改变其力学性能。试样用于进一步力学试验
验时(包括疲劳试验)应加以注意。

试验后的但

附录 A

(资料性附录)

试样定位示意图



a) 金属头与金属平板固定装置

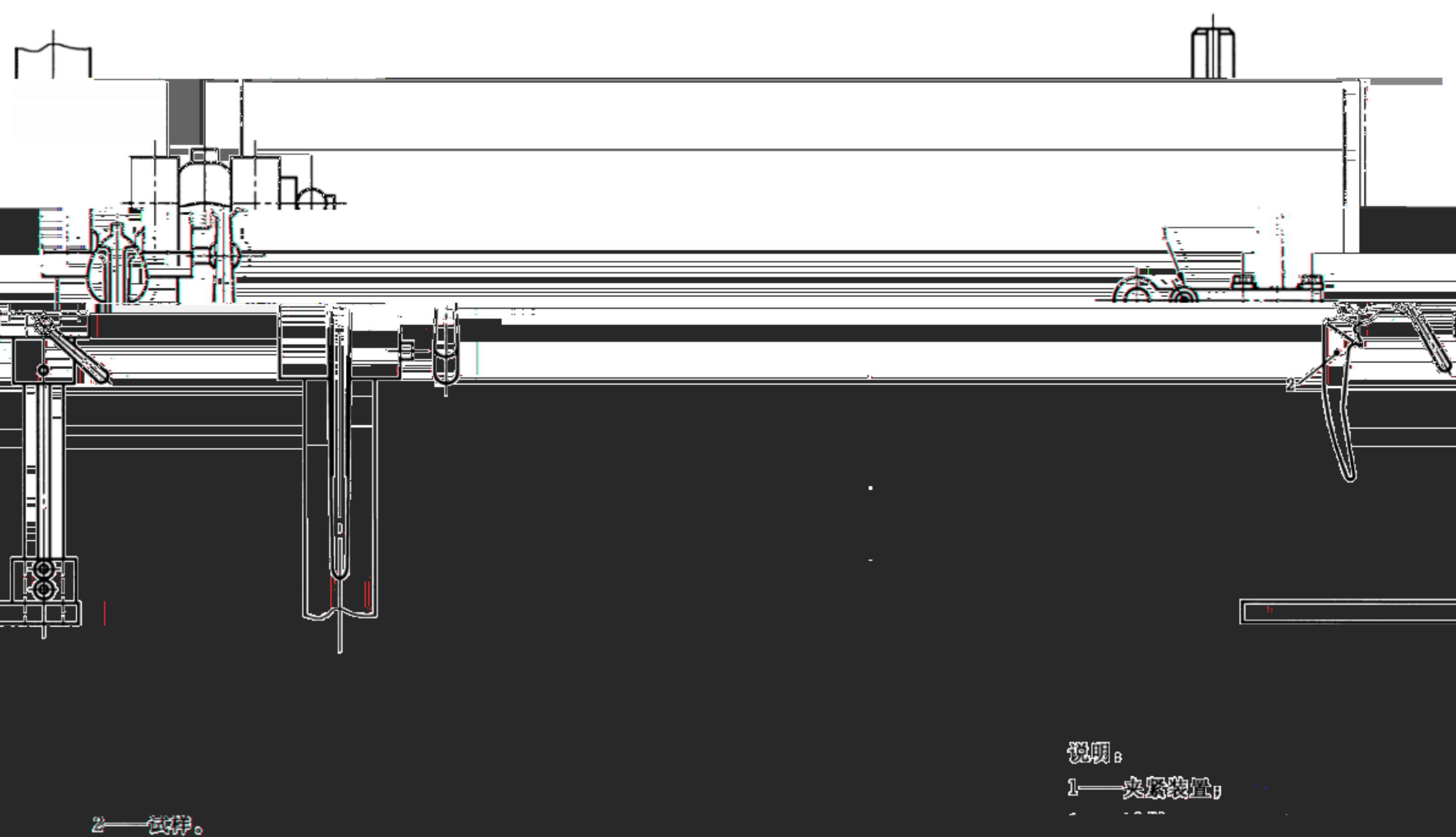
b) 金属平板与金属头固定装置

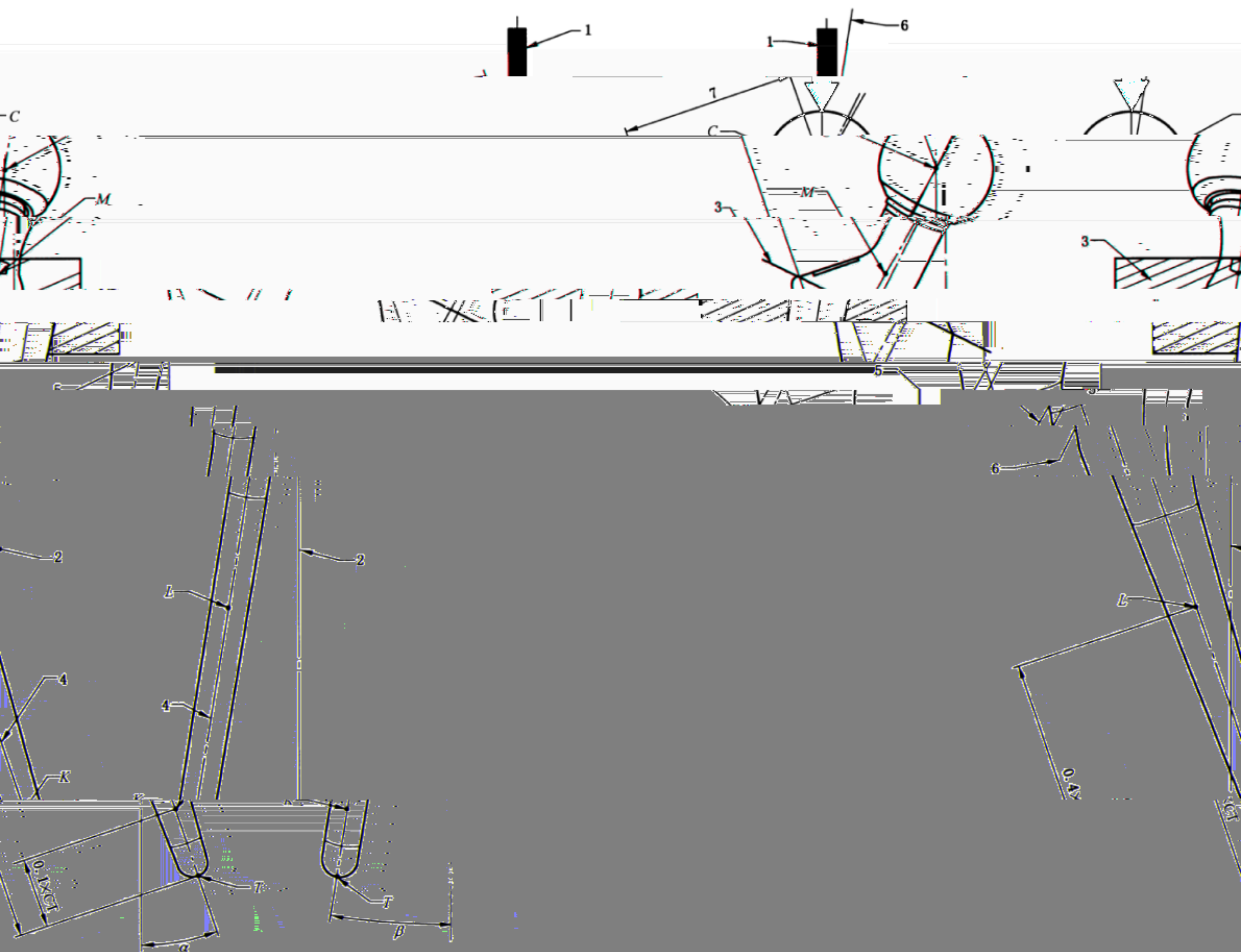
插图。

- 样;
荷;
荷轴线;
样固定装置示例;
骨头球心;
埋介质;
加载装置;
加载装置(6.5);
金属加载平板。

- 1—试
2—载
3—载
4—试
5—股
6—包
7—

图 A.1 试样安装示意图





a) 直型柄

说明：

- 1 ——载荷；
- 2 ——加载轴线；
- 3 ——理论截骨面；
- 4 ——股骨柄远端轴线；
- 5 ——股骨柄近端轴线；
- 6 ——颈部轴线；
- 7 ——股骨头偏距。

C ——股骨头球心；

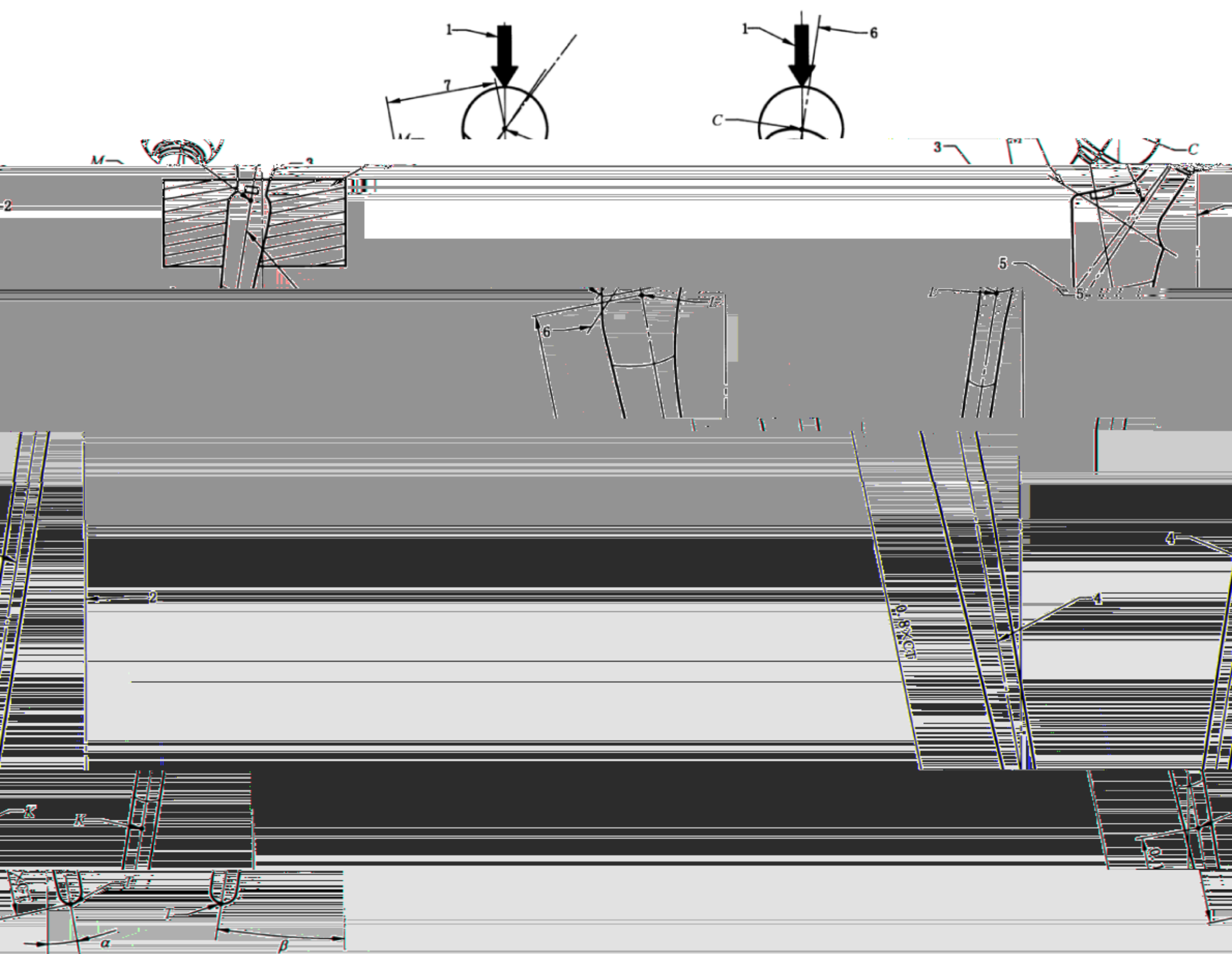
T ——股骨柄最远端点；

M ——理论截骨面以上10 mm处的横截面中心。



图 A.3 (续)

图 A.3 (续)

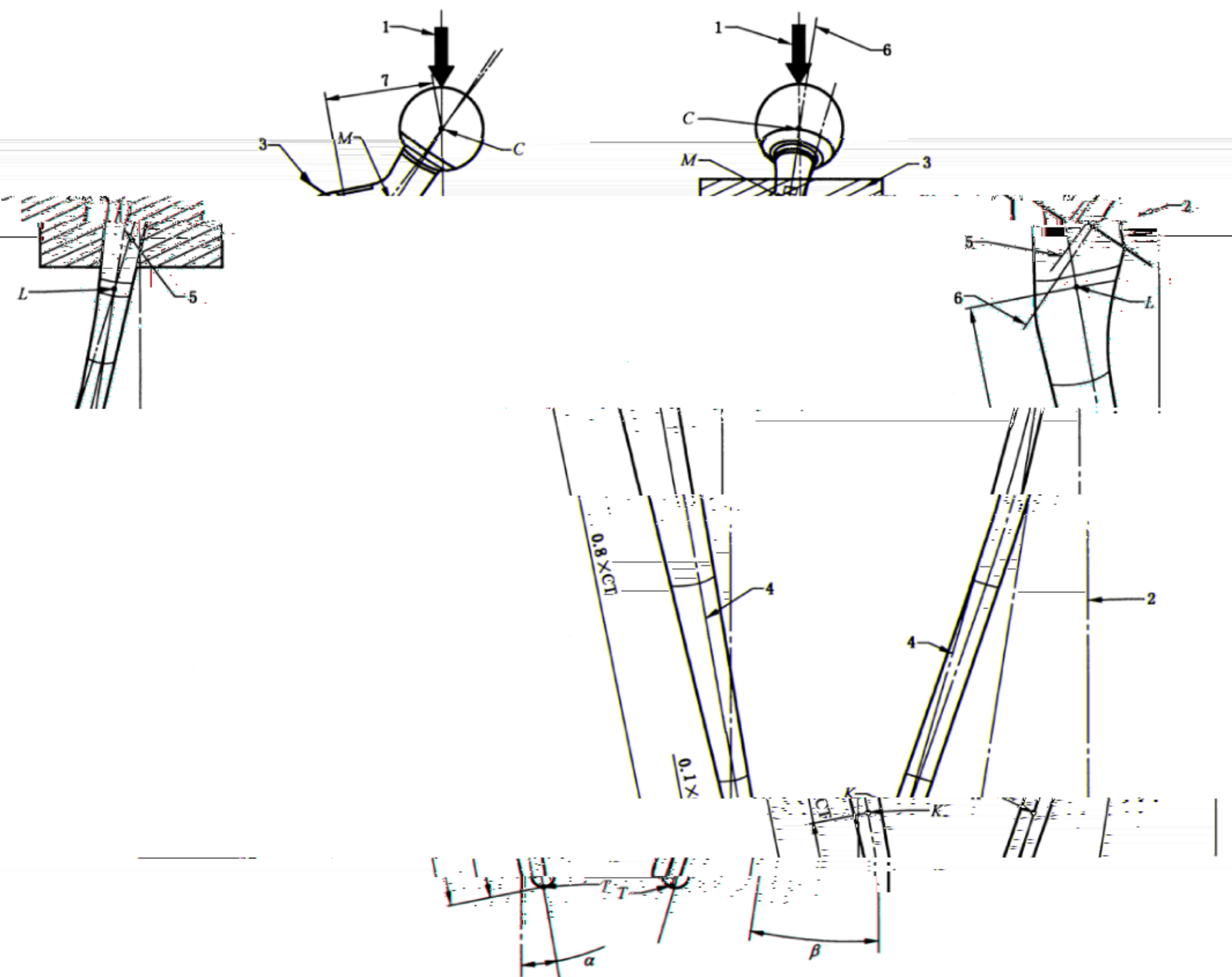


a) 直型柄

说明:

- 1 —— 颈部轴线;
- 2 —— 加载轴线;
- 3 —— 包埋平面;
- 4 —— 股骨柄远端轴线;
- 5 —— 股骨柄近端轴线;
- 6 —— 颈部轴线;
- γ —— 沿颈轴偏距;
- C —— 股骨头球心;
- T —— 股骨柄最近端点;
- K —— 距离股骨柄最近端点 T 0;
- L —— 距离股骨柄最近端点 T 0;
- M —— 理论截骨面以上 10mm 处的横截面中心;
- N —— 8×CT 处的横截面中心;
- O —— 4×CT 处的横截面中心;
- P —— 2×CT 处的横截面中心;
- Q —— CT 处的横截面中心;
- R —— 2×CT 处的横截面中心;
- S —— 4×CT 处的横截面中心;
- U —— 8×CT 处的横截面中心;
- V —— 10×CT 处的横截面中心;
- W —— 12×CT 处的横截面中心;
- X —— 14×CT 处的横截面中心;
- Y —— 16×CT 处的横截面中心;
- Z —— 18×CT 处的横截面中心;

图 A.4 长柄的摆放和包埋方式



b) 解剖型柄

图 A.4 (续)

7206-6 : 20

参 考 文 献

[1] ISO 10993-10:2009, Biological evaluation of medical devices - Part 10: Determination of potential adverse biological effects - Evaluation of the performance of stemmed femoral components

[2] ISO 10993-11:2009, Biological evaluation of medical devices - Part 11: Evaluation of endurance properties and determination of partial lifetime

YY/T 0809.6—2018